

首都高速道路公团 正員 吉田 隆  
 久保田 信雄  
 姉閣組 技術研究所 中内 博司

1.まえがき 本報告は、人工軽量骨材コンクリートを用いた厚さ3mの大型フーチングにおいて現場実験を行ない、その温度性状、温度応力について考察したものである。従来のマスコンクリートの温度応力に伴う実験研究に比べて、本実験では、①フーチング上面に30°Cの温水を供給し、保温効果を高め、ひびわれ対策とした。②計測手法として有効応力計を用い、直接応力度を得たことが、特長として挙げられる。

## 2.実験概要 今回のコンクリートは人工軽量骨材

(最大寸法15mm)、中庸熟セメント部位セメント量28.9  
 t/m<sup>3</sup>)を用いたもので、その力学的性質を表-1、熱的性質を表-2に示す。一般に知られているように、人工軽量骨材コンクリートは普通骨材コンクリートに比べて熱伝導率が小さく、比熱が大きい。しかし、熱容量はいくつかの文献によれば600~750 kJ/kg, m<sup>2</sup>であり、特に兩者の間に違いはない。本構造物は厚さ3m、平面寸法9.5m×43.25mの大型フーチングで、基礎はリバース杭(φ1500, L=約40m)となっている。使用計器は、

C-C熱電対、埋設型ひずみ計、有効応力計で主に厚さ方向の分布に注目し、設置した。養生方法としては温水養生を用いたが、これは養生面上に深さ20cm約30°Cの温水を循環させたもので、6日間実施した。なお、温水養生の効果を確認するために、他のフーチングで従来の温潤養生による現場実験も行なった。

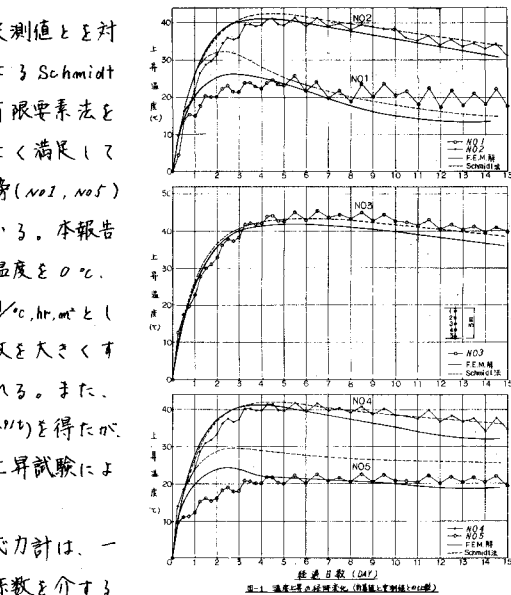
## 3.実験結果および考察

(1)温度履歴 上昇温度の経時変化について計算値と実測値とを対応させ、図-1に示した。計算手法としては一次元モデルによるSchmidt法と地盤、捨コンシラ構造系に含めた二次元モデルによる有限要素法を用いた。図-1からこれらの計算結果は全般的に実測値をよく満足していると言えらるが、材令初期で一致しない。特に上下面近傍(NO1, NO5)で差が大きく、解析上より適切な境界条件を必要としている。本報告の境界条件は、Schmidt法では上面で仮想厚さ20cm上昇温度を0°C、下面で水和熱を0°Cとし、有限要素法では熱伝達率を6 kJ/kg, hr, m<sup>2</sup>とした。しかし、実測値の方が小さいことから、さらに熱放散を大きくする必要があり、特にSchmidt法で再検討を要すると思われる。また、断面中央(NO3)の初期上昇温度を関数近似し、 $T = 43.6(1 - e^{-0.9t})$ を得たが、これは従来発表されている円柱供試体を用いた断熱温度上昇試験による実験式を大きく工回した結果となった。

(2)実構造物における弾性係数 本実験で用いた有効応力計は、一端にセットされたロードセルにより荷重を検出し、弾性係数を介すことなく応力度を得ることができる。これと同一配合コンクリートの

表-1 力学的性質			
圧縮強度	弾性係数	単位体積	ボアン比
7日	28日	7日	28日
162	315	1.17×10 <sup>5</sup>	1.56×10 <sup>5</sup>
t <sup>2</sup> /kgf	t <sup>2</sup> /kgf	t <sup>2</sup> /m <sup>2</sup>	t <sup>2</sup> /m <sup>2</sup>
		1.630	0.20

表-2 热的性質			
熱伝導率	熱放散係数	比熱	線膨張係数
0.848 kJ/m hr °C	0.0013 m <sup>2</sup> /hr	0.394 kJ/kg °C	7.51×10 <sup>-6</sup> /°C



大型円柱供試体を用いた検定試験により、その出力精度をほぼ確認した。この応力度と同一測定点でのひずみを用い、実構造物における弾性係数を材令毎に算出した。このような実構造物の持続応力下における弾性係数 $E_2$ に対し、材料試験でえられた短期荷重下での弾性係数 $E_1$ とを比較し、図-2に示した。両者は養生条件が異なること、実測値にはらつきが少なくてないことなど必ずしも明確な実験結果を示すとは言難いが、フリープによる見掛け上の弾性係数の低下を直接把えることができたと判断された。図-2によると、両者の比 $E_1/E_2$ は材令初期ではほぼ直線的に低下を続け、7日以降一定値となり、 $E_1/E_2 \approx 0.54$ であった。これは従来経験的に用いられていて弾性係数の低下率と大きな違いはない。

(3) 温度応力 温度応力分布の実測値と二次元モデルの有限要素法による計算値と比較し、図-3に示した。計算値の入力条件として、温度分布は実測値を用い、下面での外部拘束を弾性バネで表現し、 $K = 10^{13} \text{ N/mm}^2$ とした。また、前項で示した弾性係数の低下を考慮したもののが図中の点線である。材令初期(図-3の2.5日後、4.5日後)では計算値と実測値はよく一致したが、材令の増加に従って両者の対応は比較的不明瞭となった。

3. 湿水養生の効果 湿水養生と湿润養生の実験結果を比較すると、内外部の温度差、温度分布、温度勾配など温度性状の違いから、湿水養生による保温効果が容易に認められた。例えは、両者の中心部はほぼ同等の上昇温度(最高 $40^\circ\text{C}$ )を示したが、露出面近傍では湿润養生の方が温度下降が大きく、内外部の最大温度差は湿水養生で $24.4^\circ\text{C}$ 、湿润養生で $33.2^\circ\text{C}$ であった。この温度差から上下縁の引張応力を $\sigma_t = 2E_t \epsilon_{tu}/3(1-\nu)$ により算出し、その材令でのコンクリートの発現強度 $f_{tu}$ と対応させた。これを図-4に示す。 $\sigma_t/f_{tu}$ を見ると、湿润養生では材令初期で大きくその後も $0.8 \sim 0.9$ であるなど、ひびわれの危険性が大きかったことを示している。一方湿水養生では $\sigma_t/f_{tu}$ が $0.5$ 以下であり、湿水養生による効果と考えられる。

4. あとがき Schmidt法、有限要素法など従来の解析手法により実験結果をよく満足したものとの、境界条件と断熱温度上昇曲線の設定に検討を要する。湿水養生については、その保温効果が認められたが、適切な養生温水の温度、必要期間などの設計指針を準備し、ひびわれ防止策として確立する必要がある。計測手法としての応力計とひずみ計の併用はきわめて有力な方法と期待される。

〈参考文献〉首都高速道路公团 湿水養生に関する報告書(BT-2af工区) 昭和13年8月

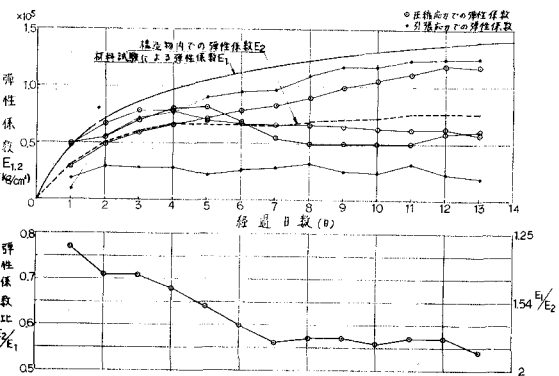


図-2 構造物内での弾性係数の変化

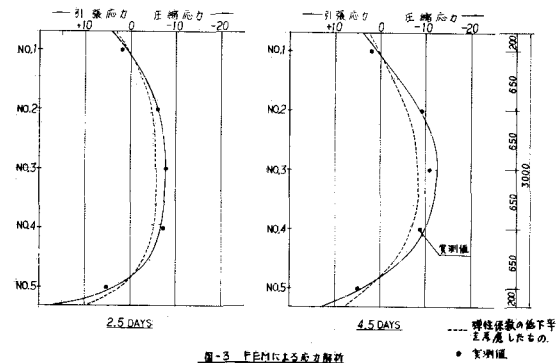


図-3 FEMによる応力解析

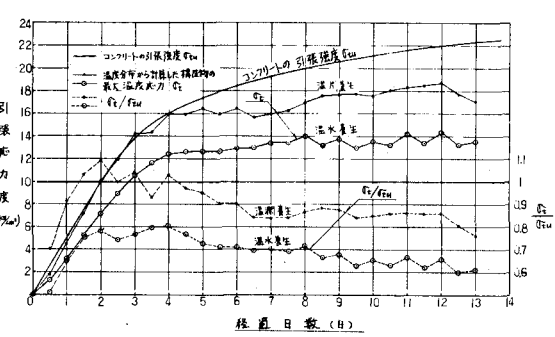


図-4 コンクリートの引張強度と構造物の最高温度応力